

تبیت و هیبریداسیون *Escherichia coli O157:H7* باکتری DNA/DNA ژن *rfbE* روی سطح الکترود طلا برای تشخیص توالی خاص به روش طیف‌بینی امپدانس الکتروشیمیایی

محمد ابراهیم مینایی^۱، مجتبی سعادتی^۲، مصطفی نجفی^{۳*}، حسین هنری^۲

۱- دانشجوی دکتری، ۲- استاد و ۳- دانشیار دانشگاه جامع امام حسین (ع)

(دریافت: ۹۲/۰۲/۱۴، پذیرش: ۹۲/۱۰/۰۲)

چکیده

در این تحقیق، تبیت و هیبریداسیون توالی تک رشته ssDNA (*Escherichia coli O157:H7*) مربوط به ژن *rfbE* به روش طیف‌بینی امپدانس الکتروشیمیایی مورد بررسی قرار گرفته است. این توالی به صورت تک‌لایه خودتجمعی، روی سطح الکترود طلا به مدت سه ساعت و در دمای محیط (۲۵ °C) ثبیت شد. تک‌لایه مخلوط شامل مركاپتوهگزانول و مركاپتوپروپیونیک اسید به عنوان یک طراحی رابط برای توسعه بیوسنسور مورد استفاده قرار گرفت. هیبریداسیون ssDNA با غوطه‌ورسانی الکترود طلای اصلاح شده با ssDNA ۱ میکرومولار DNA هدف در محلول بافر فسفات (pH 7.4) انجام شد. از روش‌های ولتاوتمتری چرخه‌ای و طیف‌بینی امپدانس الکتروشیمیایی برای بررسی تبیت و هیبریداسیون DNA استفاده شد. نتایج، نشان‌دهنده تثبیت و هیبریداسیون مناسب DNA در سطح الکترود طلا می‌باشد. حسگر طراحی شده از گزینش‌پذیری خوبی برخوردار بود. این تحقیق زمینه‌ساز توسعه آتی نوعی نانوزیست حسگر الکتروشیمیایی به منظور آشکارسازی عوامل بیولوژیک می‌باشد.

کلید واژه‌ها: هیبریداسیون DNA/DNA، طیف‌بینی امپدانس الکتروشیمیایی، زیست حسگر.

Immobilization and Hybridization of DNA/DNA of the *rfbE* Gene *Escherichia Coli O157:H7* on Gold Electrode Surface for the Detection of Specific Sequences by Electrochemical Impedance Spectroscopy Method

M. E. Minaei, M. Saadati, M. Najafi*, H. Honari

Imam Hossein University

(Received: 04/05/2013; Accepted: 23/12/2013)

Abstract

In this paper, the immobilization and hybridization of single strand DNA (ssDNA) sequences of *rfbE* gene *Escherichia coli O157:H7* has been studied by electrochemical impedance spectroscopy technique. A self-assembled monolayer of the ssDNA was immobilized on the gold electrode for three hours at ambient temperature (25 °C). A mixed monolayer comprising both mercaptohexanol (MCH) and mercaptoperionic acid (MPA) were used as an interface design for developing biosensor. The hybridization of DNA/DNA was performed by immersion the modified gold electrode with ssDNA at a concentration of target DNA, 1 μM in the phosphate buffer solution (pH 7.4). Cyclic voltammetry and electrochemical impedance spectroscopy techniques were used for investigation of the DNA immobilization and hybridization. Results showed that immobilization and hybridization of DNA on gold electrode is suitable. This research underlie the future development of nanobiosensor electrochemical for detection of biological agents.

Keywords: Hybridization DNA/DNA, Electrochemical Impedance Spectroscopy, Biosensor.

* Corresponding Author E-Mail: mnajafi@ihu.ac.ir

Passive Defence Sci. & Tech., 2014, 4, 279-283

۱. مقدمه

هیبریداسیون در جای طبیعی DNA/PNA، تکثیر RNA و RNA/DNA برهمکنش یون های فلزی با DNA به کاربرده شده است [۹]. یکی از اصلی ترین مراحل در توسعه نانوزیست حسگرها الکتروشیمیایی، تشییت ترکیب بیولوژیکی بر سطح الکترود کار به عنوان حسگر می باشد. پارامترهای متعددی بر تشییت ^۳ ssDNA (عنصر بیولوژیکی) و بهنوبه خود بر پاسخ امپدانس الکتروشیمیایی مؤثر هستند. مهم ترین پارامترها شامل موارد زیر است: (الف) خواص فیزیکی شیمیایی مشتقات تیول، (ب) طول و نوع بازهای آلى توالی ssDNA (ج) غلظت ترکیبات تشییت شونده در سطح الکترود، (د) زمان تشییت ترکیبات در سطح الکترود، (ه) دمای تشییت و هیبریداسیون زنجیرهای DNA [۱۰]. در این تحقیق، سطح الکترود طلا با تشییت اولیگونوکلئوتید ssDNA مربوط به ژن *rfbE* باکتری *Escherichia coli O157:H7* تشکیل تک لایه های تیول مخلوط، شامل مرکاپتوهگرانول و مرکاپتوپروپیونیک اسید اصلاح شد. با استفاده از این الکترود اصلاح شده و روش طیفبینی امپدانس الکتروشیمیایی، هیبریداسیون DNA/DNA بین اولیگونوکلئوتید تشییت شده و اولیگونوکلئوتید مکمل، دارای ناجوری و غیرمکمل تشخیص داده شد. نتایج این تحقیق می تواند زمینه ساز طراحی نانوسنگرهای زیستی برای مقاصد تشخیصی عوامل بیولوژیک باشد.

۲. مواد و روش ها

در این مطالعه تجربی، اولیگونوکلئوتیدها توسط نرم افزار Oligo ۳ طراحی (جدول ۱) و پس از سفارش ساخت، از شرکت *Bioneer Corporation* کشور کره شمالی خریداری شد. توالی انتخاب شده مربوط به ژن *rfbE* باکتری *Escherichia coli O157:H7* می باشد. این اولیگونوکلئوتیدها شامل توالی ۲۳ مرسی تیوله شده در انتهای ۵' به همراه فضاساز _C، توالی ۲۳ مرسی کاملاً مکمل، توالی ۲۲ مرسی دارای ۲ باز ناجور ^۴ و توالی ۲۳ مرسی غیرمکمل می باشند. سایر مواد نظیر مرکاپتوهگرانول ^۵، مرکاپتوپروپیونیک اسید ^۶، $K_3[Fe(CN)_6]/K4[Fe(CN)_6]$ و مانند آن از شرکت سیگما خریداری شد.

جدول ۱. اولیگونوکلئوتیدهای طراحی شده شامل توالی پروب تیوله شده، توالی کاملاً مکمل، توالی دارای ۲ باز ناجور و توالی غیرمکمل.

توالی	نوع اولیگونوکلئوتید
5'-SH-(CH ₂) ₆ -CGGTTGCTTCATTAGCTTG-3'	Prob1
GCCAACGAGAAGTAAATCGAAC	complementary
GCTAACGAGAAGTACATCGAAC	Mismached
ATGCAGTCTCCTACGCGATCGCA	Non complementary

باکتری اشرشیا کلی سویه ۰۱۵۷ پاتوژن مهم روده انسان است و بهطور معمول با تظاهرات شدید بالینی، از جمله اسهال خونی، کولیت هموراژیک و سندرم اورمی همولیتیک^۱ همراه می باشد. ژن *rfbE* بهدلیل اینکه تمام سویه هایی که این آنتیژن را بیان می کنند دارای عالیم کلینیکی شدید می باشند، بیشتر مورد بررسی قرار می گیرد [۱]. آشکارسازی عوامل بیولوژیک بهدلیل پیچیدگی های ماکرومولکول های حیاتی بسیار دشوار است. روش های تشخیص کنونی عوامل بیولوژیک دارای معایب مختلفی هستند و برای تشخیص با اطمینان بالا به بیش از یک روش تشخیصی نیاز می باشد. کشورهای مختلف بر روی روش های تشخیص ژنومی متمرکز شده اند و همچنین به دنبال روش های تشخیصی جدیدی برای بروز کردن چالش های موجود می باشند [۲]. زیست حسگرها به عنوان ابزاری برای تشخیص عوامل بیولوژیک در حال توسعه هستند [۳]. بهطور کلی، حسگرها زیستی مبتنی بر جفت شدن یک عامل مشخص بیولوژیکی به همراه یک مبدل فیزیکی برای تبدیل اطلاعات بیولوژیکی به یک علامت قابل تشخیص، متناسب با غلظت آنالیت می باشد. علامت ممکن است به علت تغییرات به وجود آمده نظریه تغییر در غلظت پروتون، انتشار و یا جذب گازها (به عنوان مثال، آمونیاک یا اکسیژن)، جذب یا انکاس تابش نور، انتشار گرما، تغییرات جرم یا مبادله الکترون و تغییر در جذب سطحی گونه ها براساس برهم کنش های بین آنالیت با ترکیبات بیولوژیکی روی سطح حسگر تولید شود [۴]. زنجیره DNA به عنوان یکی از ترکیبات بیولوژیکی مهم، با توجه به پتانسیل فوق العاده تشخیص مولکولی آن، برای توسعه زیست حسگرها بسیار مناسب است. زیست حسگرها مبتنی بر DNA، از اتصال ترجیحی مکمل تکرشته توالی اسید نوکلئیک، بهره می برند. این سیستم، معمولاً با تثبیت پروب DNA تکرشته ای (ssDNA) روی یک سطح برای تشخیص توالی هدف DNA مکمل خود از طریق هیبریداسیون عمل می کند [۵].

در سال های اخیر، مطالعات مربوط به طیفسنجی امپدانس الکتروشیمیایی^۲ (EIS) در آنالیز زیستی به طور قابل توجهی افزایش یافته است. روش EIS یکی از حساس ترین ابزارهای مطالعه پدیده های سطحی می باشد. علاوه بر این، در مقایسه با روش های ولتاوی، به ویژه در مورد سطح اصلاح شده با عوامل بیولوژیکی، یک روش غیر تخریبی محسوب شده و به عوامل تشییت شده در سطح آسیب نمی رساند. در این روش از یک پتانسیل DC، مانند پتانسیل مداریاز (OCP)، و یک پتانسیل متناوب (AC) کوچک جهت بررسی پاسخ سیستم استفاده می شود. بر این اساس روش EIS با موقیت برای تشخیص هدایت الکتریکی DNA [۶]، هیبریداسیون DNA (dsDNA) و ^۷ dsDNA عدم تطابق تک نوکلئوتیدی در دو رشته DNA

³ Single Strand DNA

⁴ Mismaich

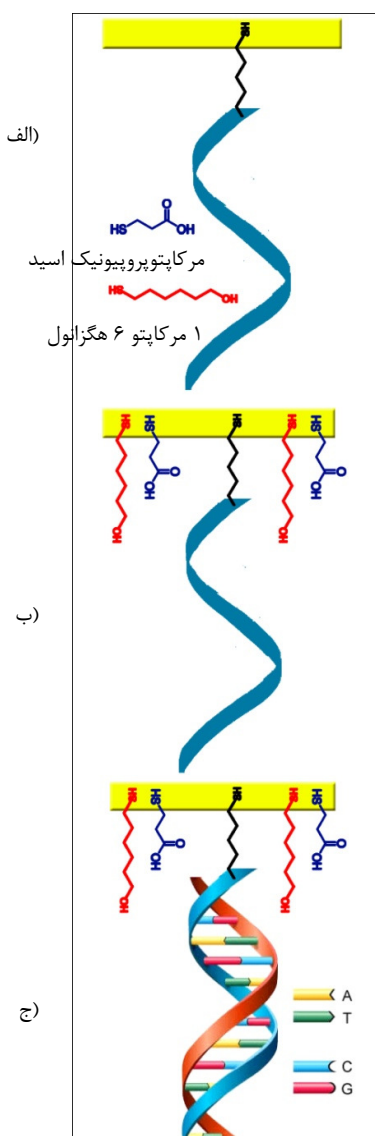
⁵ Mercapto-1-Hexanol (Mch)

⁶ Mercaptopropionic Acid (Mpa)

¹ Hemolytic Uremic Syndrome (Hus)

² Electrochemical Impedance Spectroscopy (EIS)

مدولاسیون (تعدیل) AC از ۱ کیلوهرتز تا ۱۰ مگا هرتز با ۶۰ نقطه اندازه‌گیری شده انتخاب شد [۱۸ و ۱۹]. بررسی‌های الکتروشیمیایی با استفاده از دستگاه پتانسیوواستا/گالوانواستا Autolab FAR 2 III μm دارای آنالیزکننده پاسخ فرکانسی ساخت شرکت Eco Chemie هلند انجام گرفت.



شکل ۱. ثبیت و هیبریداسیون روی سطح الکتروود طلا. (الف) ثبیت روی سطح الکتروود طلا، (ب) ثبیت ssDNA به همراه بلوکه کننده مرکاپتوهگزانول و مرکاپتوبروپیونیک اسید، (ج) هیبریداسیون DNA/DNA با رشته مکمل روی سطح الکتروود طلا اصلاح شده. با هیبریداسیون رشته‌های DNA بین نوکلوتیدهای آدنین (A) و تیمین (T)، سیتوزین (C) و گوانین (G) پیوند هیدروژنی ایجاد می‌شود.

۲-۱. تیمار اولیه الکتروود طلا

الکتروود طلا با قطر ۲ میلی‌متر مطابق روش گزارش شده توسط گبالا و شاهمن جلا داده شد [۱۰]. الکتروود با دوغاب آلومینا (۰/۰۵ و ۰/۰۵ میکرومتر α -Al₂O₃) روی یک پد به مدت ۱۰ دقیقه جلا داده شد و سپس با حمام اولتراسونیک در آب خالص تمیز گردید. پس از آن الکتروود در ۰/۱ M H₂SO₄ مولار تا دستیابی به ولتاژگرام ثابت تحت پتانسیل چرخه‌ای بین ۰ و ۱/۵ ولت قرار گرفت. در ادامه الکتروود با مقدار فراوان آب شستشو داده شد و سطح الکتروود با گاز نیتروژن خشک گردید. از این الکتروود برای ثبیت عنصر بیولوژیکی استفاده شد [۱۱ و ۱۲].

۲-۲. ثبیت ssDNA روی سطح الکتروود طلا

توالی ssDNA تیوله یک تکلایه خودتجمعی^۱ را به دلیل تمایل بالای گروه تیول نسبت به طلا، روی سطح الکتروود تشکیل می‌دهد. برای ثبیت توالی DNA روی الکتروود طلا ای تمیز شده، اولیگومر Tris-HCl تیوله در موقعیت ۵ (۱ میکرومولار) درون بافر ثبیت ۱۰ میلی‌مolar، ۱/۰ EDTA، ۱ میلی‌مolar و ۱ K₂PO₄ pH برابر ۱ مولار، ۷ به مدت یک ساعت غوطه‌ور شد [۱۳]. پس از فرایند جذب شیمیایی، الکتروود با آب دوبار تقطیر شستشو داده تا رشته‌هایی که به صورت ضعیف متصل شده‌اند حذف شوند. پس از آن، برای تشکیل تکلایه‌های تیول مخلوط، الکتروود اصلاح شده در محلول (۲ میلی‌مolar) مرکاپتوهگزانول و مرکاپتوبروپیونیک اسید در بافر سیترات (۱۰۰ میلی‌مolar، pH برابر ۲/۴) به مدت ۱ ساعت غوطه‌ور شد [۱۴ و ۱۵].

۲-۳. هیبریداسیون DNA روی الکتروود اصلاح شده

برای هیبریداسیون با DNA مکمل، الکتروود طلا اصلاح شده مرحله قبل در بافر هیبریداسیون (۱۰ Tris-HCl، ۱ میلی‌مolar، EDTA ۱ میلی‌مolar و ۱ NaCl pH برابر ۷ شامل ۱ میکرومولار DNA مکمل) به مدت ۱ ساعت غوطه‌ور شد. پس از آن، الکتروود با بافر فسفات شستشو داده شد. شمایی از مراحل ثبیت در شکل (۱) نشان داده شده است. همین روش برای هیبریداسیون با توالی دارای باز ناجور و توالی غیر مکمل انجام شد [۱۶ و ۱۷].

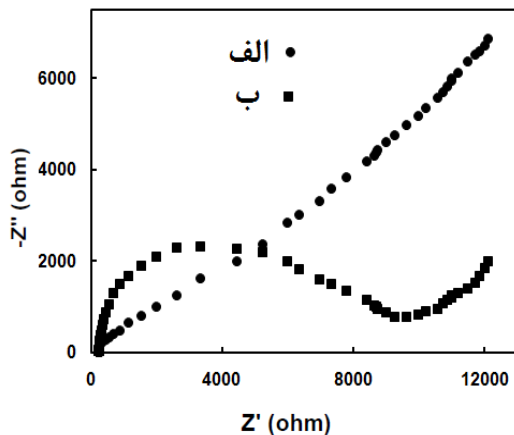
۲-۴. اندازه‌گیری الکتروشیمیایی

طیف امپدانس الکتروشیمیایی در حضور زوج ردوکس K₃[Fe(CN)₆]/K₄[Fe(CN)₆] در غلظت‌های ۲ میلی‌مolar و با استفاده از سه الکتروود متشکل از یک الکتروود مرجع AgCl/Ag (در ۳ M KCl)، یک الکتروود کمکی سیم پلاتین و الکتروود اصلاح شده طلا به عنوان الکتروود کار، ثبت شد. پتانسیل DC ثابت (۰/۲۰ میلی‌ولت در مقابل AgCl/Ag) استفاده شده است و توسط آشفتگی AC با دامنه حدود ۵ میلی‌ولت پوشش داده شد. فرکانس

^۱ Self-Assembled Monolayer (SAM)

می شود که نتیجه آن مشاهده یک نیم دایره در فرکانس های بالاتر می باشد (شکل ۳- ب).

نتایج به دست آمده از روش ولتامتری چرخه ای تطابق مناسبی با نتایج به دست آمده از روش طیف بینی امپدانس الکتروشیمیایی دارد و تأیید می کند که ثبیت ssDNA و MCH/MPA روی سطح الکترود طلا به خوبی انجام شده است.



شکل ۳. طیف امپدانس الکتروشیمیایی، (الف) الکترود طلای تمیز شده (ب) الکترود طلای اصلاح شده با ثبیت ssDNA (۱ میکرومولار) در حضور زوج رودکس $K_3[Fe(CN)_6]/K_4[Fe(CN)_6]$ در غلظت های ۲ میلی مولار

۳-۲. بررسی هیبریداسیون DNA/DNA روی الکترود اصلاح شده

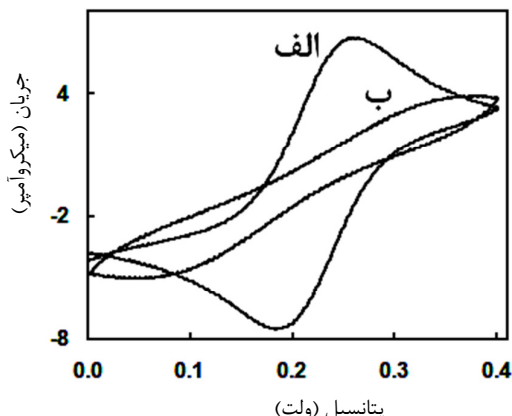
طیف امپدانس الکتروشیمیایی یک الکترود اصلاح شده با ssDNA و MCH/MPA و بعد از هیبریداسیون با اولیگو نوکلئوتید مکمل، اولیگو نوکلئوتید غیر مکمل و اولیگو نوکلئوتید دارای ناجوری در شکل (۴) نشان داده شده است. مقاومت انتقال بار ناشی از اکسایش / احیای ردیاب هگزاسیانوفرات در نمودار نایکوئیست بعد از هیبریداسیون DNA مکمل (شکل ۴- ب)، نسبت به این نمودار در الکترود طلا قبل از هیبریداسیون با DNA مکمل (شکل ۴- الف) افزایش یافته است.

این نتایج بیانگر برهم کنش مناسب بین ssDNA ثبیت شده و DNA مکمل بوده و نشان دهنده تشخیص موفقیت آمیز قطعه ای از ژن *Escherichia coli O157:H7 rfbE* باکتری در محلول آبی می باشد. برای بررسی کارایی حسگر زیستی در تمايز بین اولیگو نوکلئوتید مورد نظر و اولیگو نوکلئوتیدهای مداخله کننده احتمالی طیف امپدانس الکتروشیمیایی الکترود اصلاح شده با ssDNA و MCH/MPA با دو نمونه اولیگو نوکلئوتید غیر مکمل و اولیگو نوکلئوتید دارای ناجوری به ترتیب در شکل (۴) ج و د نشان داده شده است. همان گونه که مشاهده می شود، برهم کنش حسگر با این دو گونه تأثیر محسوسی در پاسخ حسگر نداشته و نشان دهنده گزینش پذیری بسیار مناسب حسگر تهیه شده می باشد.

۳. نتایج و بحث

۳-۱. بررسی ثبیت ssDNA روی سطح الکترود

ثبتیت ssDNA روی سطح الکترود طلا با دو روش ولتامتری چرخه ای و طیف بینی امپدانس الکتروشیمیایی مطالعه شده است. شکل (۲) ولتاگرام های حاصل از الکترود طلا در حضور زوج رودکس $K_3[Fe(CN)_6]/K_4[Fe(CN)_6]$ قبل و بعد از ثبیت ssDNA و MCH/MPA را نشان می دهد. کاهش جریان های کاتدی و آندی ssDNA در ولتاگرام (ب) نسبت به ولتاگرام (الف) بیانگر ثبیت ssDNA و MCH/MPA روی سطح الکترود می باشد. طیف امپدانس شامل یک DNA/DNA بخش نیم دایره در فرکانس های بالا (نمودار نایکوئیست) مربوط به فرایند کنترل شده با فرآیند انتقال الکترون و یک بخش خطی در فرکانس های پایین تر مربوط به مرحله کنترل شده با انتشار در فرایند الکتروشیمیایی است. قطر نیم دایره برابر با مقاومت انتقال بار^۱ است که رفتار سطح الکترود برای زوج رودکس را نشان می دهد و بنابراین می تواند به عنوان علامتی برای مشخص کردن تغییر در مراحل ثبیت و هیبریداسیون مورد استفاده قرار گیرد.



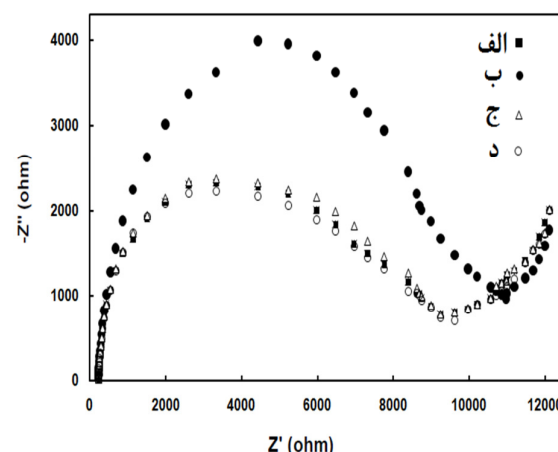
شکل ۲. ولتاگرام های چرخه ای، (الف) الکترود طلای تمیز شده (ب) الکترود طلای اصلاح شده با ثبیت ssDNA (۱ میکرومولار) در حضور زوج رودکس $K_3[Fe(CN)_6]/K_4[Fe(CN)_6]$ در غلظت های ۲ میلی مولار در سرعت اسکن پتانسیل 50 mVs^{-1}

اندازه گیری های امپدانس الکتروشیمیایی یک الکترود طلا تمیز شده و اصلاح شده با ssDNA و MCH/MPA در شکل (۳) نشان داده شده است.

همان گونه که در شکل (۳- الف) مشاهده می شود، نمودار نایکوئیست الکترود طلا تمیز شده تقریباً به صورت یک خط مستقیم است که نشان دهنده کنترل فرآیند با انتشار است. لایه خود تجمعی ssDNA و MCH/MPA بر روی الکترود به عنوان یک لایه عایق عمل کرده و مانع انتقال الکترون در سطح الکترود

^۱ Charge Transfer Resistance (Rct)

- [3] Singh, R.; Sumana, G.; Verma, R.; Sood, S.; Pandey M. K.; Gupta, K.; Malhotra, B. D. "DNA Biosensor for Detection of Neisseria Gonorrhoeae Causing Sexually Transmitted Disease"; *J. Biotech.* 2010, 150, 357-365.
- [4] Ezzati Nazhad Dolatabadi, J.; Mashinchian, O.; Ayoubi, B.; Jamali, A.; Moked, A.; Losic, D.; Omidi, Y.; Guardia, M. "Optical and Electrochemical DNA Nanobiosensors"; *Trends in Anal. Chem.* 2011, 30, 459-472.
- [5] Sassolas, A.; Leca-Bouvier, B. D.; Blum, L. J. "DNA Biosensors and Microarrays"; *Chem. Rev.* 2008, 108, 109-39.
- [6] Wang, L.; Chen, X.; Wang, X.; Han, X.; Liu, S.; Zhao, C. "Electrochemical Synthesis of Gold Nanostructure Modified Electrode and Its Development in Electrochemical DNA Biosensor"; *Biosen. Bioelect.* 2011, 30, 151-157.
- [7] Zhang, K.; Ma, H.; Zhang, L.; Zhang, Y. "Fabrication of a Sensitive Impedance Biosensor of DNA Hybridization Based on Gold Nanoparticles Modified Gold Electrode"; *Electroanal.* 2008, 20, 2127-2133.
- [8] Kafka, J.; Panke, O.; Abendroth, B.; Lisdat, F. "A Label-Free DNA Sensor Based on Impedance Spectroscopy"; *Electrochim. Acta* 2008, 53, 7467-7474.
- [9] Long, Y. T.; Li, C. Z.; Sutherland, T. C.; Kraatz, H. B.; Lee, J. S. "Electrochemical Detection of Single-Nucleotide Mismatches: Application of M-DNA"; *Anal. Chem.* 2004, 76, 4059-4065.
- [10] Gebala, M.; Schuhmann, W. "Controlled Orientation of DNA in a Binary SAM as a Key for the Successful Determination of DNA Hybridization by Means of Electrochemical Impedance Spectroscopy"; *Chem. Phys. Chem.* 2010, 11, 2887-2895.
- [11] Aoki, H.; Tao, H. "Label- and Marker-Free Gene Detection Based on Hybridization-Induced Conformational Flexibility Changes in a Ferrocene-PNA Conjugate Probe"; *Analyst* 2007, 132, 784-791.
- [12] Herne, T. M.; Tarlov, M. J. "Characterization of DNA Probes Immobilized on Gold Surfaces"; *J. Am. Chem. Soc.* 1997, 119, 8916-8920.
- [13] Steel, A. B.; Herne, T. M.; Tarlov, M. J. "Electrochemical Quantitation of DNA Immobilized on Gold"; *Anal. Chem.* 1998, 70, 4670-4677.
- [14] Gebala, M.; Stoica, L.; Neugebauer, S.; Schuhmann, W. "Label-Free Detection of DNA Hybridization in Presence of Intercalators Using Electrochemical Impedance Spectroscopy"; *Electroanal.* 2009, 21, 325-331.
- [15] Liu, J.; Cao, Z.; Lu, Y. "Functional Nucleic Acid Sensors"; *Chem. Rev.* 2009, 109, 1948-1998.
- [16] Park, J. Y.; Park, S. M. "DNA Hybridization Sensors Based on Electrochemical Impedance Spectroscopy as a Detection Tool"; *Sensors* 2009, 9, 9513-9532.
- [17] Chatelain, G.; Chaix, C.; Brisset, H.; Moustrou, C.; Fages, F.; Mandrand, B. "Synthesis of Electrochemical Probes for Nucleic Acid Detection"; *Sensors and Actuators B* 2008, 132, 439-442.
- [18] Pumera, M.; Sanchez, S.; Ichinose, I.; Tang, J. "Electrochemical Nanobiosensors"; *Sensors and Actuators B* 2007, 123, 1195-1205.
- [19] Velusamy, V.; Arshak, K.; Yang, C. F.; Yu, L.; Korostynska, O.; Adley, C. "Comparison Between DNA Immobilization Techniques on a Redox Polymer Matrix"; *Am. J. Anal. Chem.* 2011, 2, 392-400.



شکل ۴. طیف امپدانس الکتروشیمیایی، (الف) الکترود اصلاح شده با ssDNA (ب) هیبریداسیون با اولیگو-کلثوتید مکمل، (ج) هیبریداسیون با اولیگو-کلثوتید غیرمکمل، (د) هیبریداسیون با اولیگو-کلثوتید دارای ناجوری.

در حضور زوج ردوكس $K_3[Fe(CN)_6]/K_4[Fe(CN)_6]$ در غلظت ۲ میلی مولار و توسط آشفتگی AC با دامنه حدود ۵ میلی ولت، فرکانس مدولاسیون (تعدیل) AC از ۱ کیلوهرتز تا ۱۰ مگا هرتز با تعداد ۶۰ نقطه اندازه گیری، انتخاب شد.

۴. نتیجه گیری

نتایج به دست آمده نشان می دهد که EIS یک فن موفق با حساسیت و کارایی بالا برای مطالعه روند هیبریداسیون DNA/DNA است. حسگرهای EIS بر اساس تشخیص DNA، بدون برچسب (-Label) (free) هستند و بنابراین، دارای مزایای استفاده از جمله هزینه کم، سادگی، سهولت و کوچک سازی می باشند. در این مطالعه، توالی ثبت شده ssDNA روی سطح الکترود، اولیگو-کلثوتید خاصی از باکتری را تشخیص می دهد و این موضوع می تواند برای توسعه حسگرهای بیولوژیک جهت آشکارسازی عوامل بیولوژیک مورد استفاده قرار گیرد.

۵. مراجع

- [1] Romain, B.; Benoit, R. "Evaluation of Enrichment-Free PCR-Based Detection on the rfbE Gene of Escherichia Coli O157-Application to Municipal Wastewater"; *Water Research* 2007, 41, 1280-1286.
- [2] Sanvicens, N.; Pastells, C.; Pascual, N.; Marco, M. "Nanoparticle-Based Biosensors for Detection of Pathogenic Bacteria"; *TrAC Trends in Anal. Chem.* 2009, 28, 1243-1252.